

УДК 519.6: 536.764

А.И. Ивон, В.Ф. Истушкин

## УПРАВЛЕНИЕ КУЛЕРОМ С ПОМОЩЬЮ КРИТИЧЕСКИХ ТЕРМОРЕЗИСТОРОВ

**Введение.** Критические терморезисторы – это электронные приборы, сочетающие свойства обычных полупроводниковых терморезисторов с отрицательным температурным коэффициентом сопротивления и термического реле [1]. Характерной особенностью критических терморезисторов есть резкое (на несколько порядков) изменение сопротивления при некоторой критической температуре  $T_t$ . Такие терморезисторы реализуют на основе материалов с фазовым переходом металл-полупроводник. В частности электронной промышленностью выпускаются терморезисторы СТ-9 [1], ТПР 68-01[2] с критической температурой  $T_t \sim 68$  °С. В последние годы разработан керамический материал на основе  $\text{VO}_2$  и стекол системы  $\text{V}_2\text{O}_5-\text{P}_2\text{O}_5$  (диоксиднованадиевая стеклокерамика), который проявляет скачок электрического сопротивления при температуре  $T_t \sim 70$  °С [3]. Критические терморезисторы, реализованные на основе такого материала, способны пропускать электрический ток до десятка ампер, это дает возможность использовать их в электрических цепях потребляющих значительный электрический ток, например, для управления работой электрических двигателей.

**Постановка задачи.** Цель настоящей работы исследование возможностей критических терморезисторов для управления работой кулера процессора.

**Обоснование полученных результатов.** Известные методы защиты СБИС от перегрева и, в частности, СБИС центрального процессора компьютера, обеспечивают такую защиту либо путем снижения мощности выделяемой электрическим током в микросхеме либо путем увеличения тепловой мощности рассеиваемой микросхемой в окружающую среду [4]. В последнем случае корпус СБИС обдувается потоком воздуха с помощью вентилятора – кулера. Критические терморезисторы на основе диоксиднованадиевой стеклокерамики, которые испытывают скачкообразное изменение сопротивления (более

двух порядков) при температуре  $\sim 70^{\circ}\text{C}$ , близкой к верхней границе рабочих температур процессора  $80^{\circ}\text{C}$  ч  $90^{\circ}\text{C}$  [4] могут быть использованы для управления работой кулера с целью организации более экономичного режима его работы.

Такой режим может быть реализован путем управления скоростью вращения крыльчатки кулера. Кулеры, используемые для охлаждения процессора, работают при напряжение питания 12 В и токе  $I_p$ , величина которого для различных моделей кулеров составляет от 0,07 до 0,4 А. Значение пускового тока  $I_n$  и напряжения, при которых крыльчатка кулера начинает вращаться, примерно в 1,5 – 2 раза меньше рабочих значений. Это дает возможность, изменяя ток в интервале  $I_n \leq I \leq I_p$ , регулировать скорость вращения крыльчатки и интенсивность воздушного потока, обдувающего корпус микросхемы.

В настоящей работе были выполнены исследования равновесной температуры на нагретой поверхности при обдуве ее кулером модели ND3. Для этой цели на поверхности тонкой керамической пластины, подогреваемой с противоположной стороны электрическим нагревателем, размещали датчик температуры (médный термометр сопротивления) и обдували ее кулером. Равновесную температуру поверхности измеряли для трех режимов работы: при токе кулера  $I < I_n$  (крыльчатка не вращается), при токе близком к  $I_n$  ( $I \sim I_n$ ) и рабочем токе кулера  $I_p$ . Результаты для двух исходных температур поверхности приведены в табл. 1.

Как видно из таблицы обдув кулером, когда через него течет рабочий ток  $I_p$  почти в два раза снижает равновесную температуру поверхности, а при токе близком к пусковому току  $I_n$  такое снижение составляет 30 – 40 %.

С учетом полученных результатов можно предложить трехступенчатый режим управления кулером (рис.1). Первая ступень ограничена диапазоном температуры на поверхности микросхемы  $T < T_{S1}$ . Ток  $I_0$  меньше пускового тока  $I_n$ , поэтому кулер выключен. Включение кулера происходит, когда температура достигает значения  $T = T_{S1}$ , при этом ток через него ограничивается на уровне близком к пусковому току  $I_n$ . Когда температура поверхности достигает значения  $T_{S2}$ , ток кулера увеличивается до рабочего значения  $I_p$ .

Таблица 1

Равновесная температура на поверхности, обдуваемой кулером

Напряжение и ток кулера		Температура поверхности
U, В	I, мА	t, °C
0	0	96 ± 1
6,3	38,8	59 ± 1
12,5	74,5	42 ± 1
0	0	65 ± 1
6,3	38,8	43 ± 1
12,5	74,5	36 ± 1

Режим управления кулером (рис.1) в зависимости от степени нагрева поверхности микросхемы позволяет организовать экономичную работу кулера, используя его на полную мощность, в случае значительного перегрева СБИС.

Для организации такого режима работы кулера потребуется два критических терморезистора, которые переключаются в низкоомное состояние при разных температурах  $T_{S1}$  и  $T_{S2}$  (причем  $T_{S1} < T_{S2}$ ). Схема включения терморезисторов для управления работой кулера показана на рис. 2. Терморезисторы, имеющие рабочее тело в виде тонкой пластины диоксиднанадиевой стеклокерамики с нанесенными на него электродами (сэндвич структура), приклеиваются теплопроводящей пастой на корпус микросхемы. Необходимые величины сопротивления  $R_{S1}$  и  $R_{S2}$  вблизи температур  $T_{S1}$  и  $T_{S2}$ , которые должны иметь терморезисторы до переключения в низкоомное состояние (состояние с сопротивлением  $R_{ON1} \ll R_{S1}$  и  $R_{ON2} \ll R_{S2}$ ) несложно рассчитать с учетом рис. 2, записав выражения для токов на каждой ступени кривой режима управления работой кулера (рис. 1):

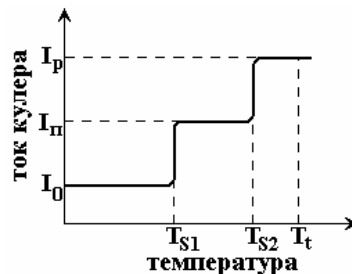


Рисунок 1–  
Трехступенчатый режим  
управления кулером

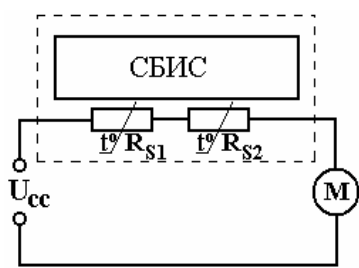


Рисунок 2 – Схема управления куллером

$$I_0 = \frac{U_{cc}}{R_k + R_{S1} + R_{S2}} < I_n, \quad (1)$$

$$I_n = \frac{U_{cc}}{R_k + R_{ON1} + R_{S2}} \approx \frac{U_{cc}}{R_k + R_{S2}}, \quad (2)$$

$$I_p = \frac{U_{cc}}{R_k + R_{ON2}} \approx \frac{U_{cc}}{R_k}, \quad (3)$$

где  $R_k$  – сопротивление кулера.

Из соотношений (1) – (3), при выборе  $I_0 = 0,5I_n$ , вытекает, что для управления куллером потребуются критические терморезисторы, с сопротивлениями  $R_{S1}$ ,  $R_{S2}$ :

$$R_{S1} = U_{cc}/I_n, \quad (4)$$

$$R_{S2} = \frac{U_{cc}(I_p - I_n)}{I_p I_n}. \quad (5)$$

Достоинством критических терморезисторов на основе материалов с фазовым переходом металл-полупроводник является то, что температурой их переключения можно управлять, пропуская через терморезистор электрический ток [5]. Найдем связь между током терморезистора  $I_s$  и температурой поверхности СБИС  $T_s$ , при которой терморезистор переключается. Это происходит, когда температура рабочего тела терморезистора достигает температуры фазового перехода  $T_t$ . В этом случае уравнение теплового баланса терморезистора, рабочее тело которого имеет форму тонкой пластины, можно записать в виде:

$$K_1(T_t - Q) + K_2(T_t - T_s) = I_s^2 R_s, \quad (6)$$

где  $K_1$  – коэффициент теплообмена между поверхностью терморезистора и окружающей средой с температурой  $Q$ ;  $K_2$  – коэффициент теплообмена между поверхностью терморезистора, контактирующей с поверхностью СБИС, имеющей температуру  $T_s$ ;  $I_s$ ,  $R_s$  – ток и сопротивление терморезистора.

Из (6) для  $T_s$ , при которой терморезистор переключится, получим:

$$T_s = T_t + \frac{K_1}{K_2}(T_t - Q) - \frac{I_s^2 R_s}{K_2}, \quad (7)$$

откуда вытекает, что значением  $T_s$  можно управлять, варьируя ток терморезистора  $I_s$  и его сопротивление  $R_s$ . Это дает возможность

задавать любые значения пороговых температур  $T_{S1}, T_{S2} \leq T_t$  для режима управления кулером на рис. 1.

Учитывая, что для плоского терморезистора с площадью контактной поверхности  $S$ , коэффициент теплообмена  $K = HS$  ( $H$  – удельный коэффициент теплообмена), на основании (7) для температур  $T_{S1}, T_{S2}$  получим:

$$T_{S1} = T_t + \frac{H_1}{H_2}(T_t - Q) - \frac{I_n^2 R_{S1}}{H_2 S_1}, \quad (8)$$

$$T_{S2} = T_t + \frac{H_1}{H_2}(T_t - Q) - \frac{I_p^2 R_{S2}}{H_2 S_2}. \quad (9)$$

Поскольку величины  $T_t, H_1, H_2, Q, I_n, I_p$  фиксированы, а величины  $R_{S1}$  и  $R_{S2}$  с учетом (4), (5) также не могут изменяться, согласно (8), (9) можно изменять пороговые температуры  $T_{S1}, T_{S2}$  путем вариации площади контактной поверхности терморезисторов  $S_1, S_2$ . Причем, в соответствии с режимом управления кулером, представленным на рис. 1, должно выполняться условие  $T_{S1} < T_{S2}$ . Из соотношений (4), (5), (8), (9) вытекает, что это можно обеспечить при отношении  $S_2/S_1$ , удовлетворяющем условию:

$$\frac{S_2}{S_1} > \frac{I_p}{I_n} \left( \frac{I_p}{I_n} - 1 \right), \quad (10)$$

в частности для кулера, который был исследован в настоящей работе (см. табл. 1), это условие принимает вид:  $S_2/S_1 > 1,77$ .

Из (8), (9) вытекает, что всегда существует возможность сдвинуть температуры  $T_{S1}, T_{S2}$  относительно температуры фазового перехода металл-полупроводник  $T_t \sim 70^\circ\text{C}$  к более низким значениям за счет уменьшения площади контактных поверхностей терморезисторов  $S_2, S_1$ . Можно, например, подобрать такие значения площади, при которых кулер будет включаться, когда микросхема нагреется до температуры  $\sim 40^\circ\text{C}$ , а выходить на рабочий режим вращения крыльчатки, когда температура достигнет  $60^\circ\text{C}$ . Обеспечить требуемые для данного кулера значения  $R_{S1}$  и  $R_{S2}$  (соотношения (4), (5)) можно варьируя геометрические размеры рабочего тела терморезистора и удельное электрическое сопротивление диоксиднованадиевой стеклокерамики, которое, как показано в [6], можно изменять в широких пределах, путем введения оксидных и металлических добавок.

## ЛИТЕРАТУРА

1. Шефтель И.Т. Терморезисторы (Электропроводность 3d-окислов. Параметры, характеристики и области применения).— М.: Наука, 1973.—416 с.
2. Терморезистор прямого подогрева ТРП68-01 [Электронный ресурс]// Индустрон — 2007 — Режим доступа: <http://www.industron.ru/catalog/relsib/uzt/uzt.htm>.
3. Терморезистор прямого подогрева ТРП68-01 [Электронный ресурс]// Индустрон — 2007 — Режим доступа: <http://www.industron.ru/catalog/relsib/uzt/uzt.htm>.
4. Декларацийний патент 40748A Україна, МКІ С 04 В 35/495, Н 01 В 01/08. Спосіб одержання напівпровідникової кераміки на основі діоксиду ванадію: О.І. Івон, В.Р. Колбунов, І.М. Черненко (Україна); Дніпропетровський державний університет. — № 99031402; Заявл. 16.03.99; Опубл. 15.08.2001. Бюл. №7. — 2 с
5. Защита процессоров AMD от перегрева [Электронный ресурс] / А. Карабуто// FERRA.RU — 2002 — Режим доступа: <http://www.ferra.ru/online/system/s19535/>.
6. Ивон А.И., Кузьменко Е.Н. Использование критических терморезисторов для защиты процессора от перегрева // Системные технологии: сб. научных трудов. –Днепропетровск, 2007. – Вып. 2 (49). – С. 25–32.
7. Ivon A.I., Kolbunov V.R., Chernenko I.M. Conductivity of VO<sub>2</sub>-based ceramics.// J. Mat. Sci: Materials in Electronics.–2006.– V. 17, №1. – P. 57 – 62.

Получено 4.11.2008г.